

# $S^3$ 内の $(1,1)$ -結び目の DS-diagram による表示について

石井 一平

レンズ空間  $L(p, q)$  ( $S^3 = L(1, 1)$ ,  $S^2 \times S^1 = L(0, 1)$  を含む) 内の結び目  $k$  が  $(1, 1)$ -結び目 であるとは、 $L(p, q)$  の種数 1 の Heegaard 分解 (H-分解)  $(V_1, V_2)$  ( $V_j = D^2 \times S^1$ ) に対して  $k$  が  $\partial V_1 = \partial V_2$  と 2 点で交わり、二つの弧  $k \cap V_j$  ( $j = 1, 2$ ) がともに  $V_j$  内で自明 (境界  $\partial V_j$  に平行) となることをいう。[8] では、 $(1, 1)$ -結び目が DS-diagram を用いてどのように表示されるかを概観した。ここでは、 $S^3$  内の  $(1, 1)$ -結び目についての具体的な DS-表示について報告する。

## 1 $(1, 1)$ -結び目の DS-表示構成法

### 1.1 move $R_2$ および $R_2^{-1}$

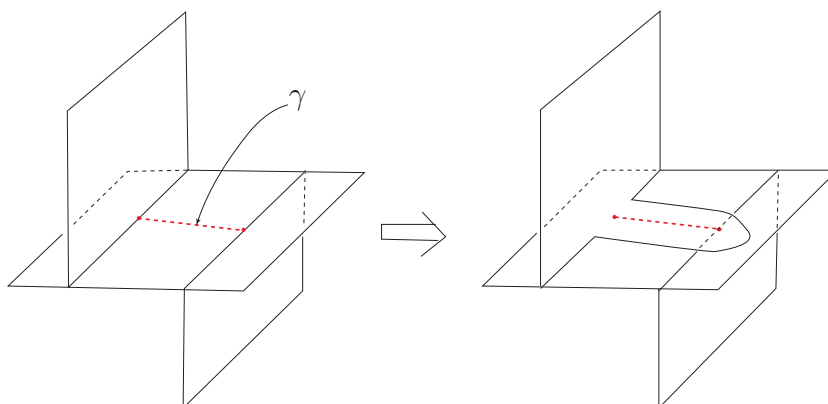


図 1.1: piping along a curve  $\gamma$

図 1.1 の左図のようにスパインの面上に返上の 2 点を結ぶ曲線  $\gamma$  が与えられたとき、 $\gamma$  に沿ってスパインを右図のように変形する操作を  $\gamma$  に沿う piping と呼び、このときの  $\gamma$  を piping line と呼ぶ。この piping の逆操作は 2 辺形潰し と呼ばれる。

E-cycle 付 DS-diagram に関する move  $R_2$  とは、E-cycle を保存する 2 辺形潰しのことであり、move  $R_2^{-1}$  は E-cycle 付 DS-diagram の範囲内での piping である ([2] 参照)。

## 1.2 $L(p, q)$ 内の $(1, 1)$ -結び目

[8] では、 $L(p, q)$  の 2 辺形を持たない block number 1 の E-cycle 付 DS-diagram が  $\Delta(\mathcal{E}_n(p, q))$  ( $n = 1, 2, 3, \dots$ ) であることを示し、 $L(p, q)$  内の  $(1, 1)$ -結び目の DS-表示について次の結果を示した。

定理 1.1.  $L(p, q)$  内の  $(1, 1)$ -結び目  $k$  は次の (a), (b) のいずれかである。

- (a)  $k$  は  $\Delta(\mathcal{E}_n(p, q))$  ( $n = 1, 2, 3, \dots$ ) のある面に対応する DS-knot 。
- (b)  $k$  は block number 1 の E-cycle 付 DS-diagram のある 2 辺形に対応する DS-knot で、その DS-diagram は有限回の 2 辺形潰し  $R_2$  によって  $\Delta(\mathcal{E}_n(p, q))$  ( $n = 1, 2, 3, \dots$ ) の一つに帰着する。

E-cycle 付 DS-diagram の piping  $R_2^{-1}$  のうち block number を不変に保つものを  $R_{*2}^{-1}$  で表すことにすると、上の定理の (b) は次のように書き換えることができる。

- (b)  $k$  は  $\Delta(\mathcal{E}_n(p, q))$  ( $n = 1, 2, 3, \dots$ ) のいずれかから有限回の  $R_{*2}^{-1}$  を施して得られる DS-diagram の 2 辺形に対応する DS-knot である。

## 2 $S^3$ 内の $(1, 1)$ -結び目

### 2.1 (a)-type の $(1, 1)$ -結び目

この分節では、 $S^3$  内の (a)-type の  $(1, 1)$ -結び目、すなわち DS-diagram  $\Delta(\mathcal{E}_n(1, 1))$  ( $n = 1, 2, 3, \dots$ ) の一つの面が表す DS-knot を決定する。 $S^3$  の block number 1 DS-diagram で 2 辺形を持たないものは E-data  $\mathcal{E}_n(1, 1)$  ( $n = 1, 2, \dots$ ) が表す  $\Delta(\mathcal{E}_n(1, 1))$  である ([8] 参照)。

まず、DS-diagram  $\Delta(\mathcal{E}_1(1, 1))$  はかの有名なアワビ (図 2.1) であり、その 1 辺形が表す DS-knot が  $3_1$ -knot (他の面は trivial knot) であることはよく知られている。

DS-diagram  $\Delta(\mathcal{E}_n(1, 1))$  ( $n = 2, 3, \dots$ ) を与える  $2n-1$  個の頂点上の E-data  $\mathcal{E}_n(1, 1) = (\mathcal{A}_n, \phi_n)$  ( $\mathcal{A}_n$  は arrangement、 $\phi_n$  は code ([2] 参照)) は、 $2n-1 = 4m+1$  の場合と  $2n-1 = 4m+3$  の場合に分けて次のように定義される。

$2n-1 = 4m+3$  ( $m = 0, 1, 2, \dots$ ) の場合には  $2n-1$  個の頂点  $a_j, b_j, c, d_1, d_2$  ( $j =$

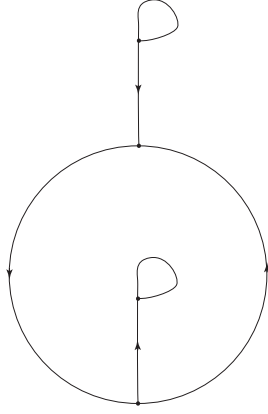


図 2.1:  $\Delta(\mathcal{E}_1(1,1))$

$1, 2, \dots, 2m)$  に対して code  $\phi_n$  と arrangement  $\mathcal{A}_n$  が

$$\phi_n(a_j) = \phi_n(c) = r, \quad \phi_n(b_j) = \phi_n(d_1) = \phi(d_2) = \ell \quad (j = 1, 2, \dots, 2m),$$

$$\mathcal{A}_n = W^+W^-,$$

$$W^+ = (a_1^+b_1^+a_2^+b_2^+ \dots a_m^+b_m^+)(c^+d_1^+d_2^+)(a_{m+1}^+b_{m+1}^+a_{m+2}^+b_{m+2}^+ \dots a_{2m}^+b_{2m}^+),$$

$$W^- = (b_1^-a_{2m}^-b_2^-a_{2m-1}^- \dots b_m^-a_{m+1}^-)(d_1^-d_2^-c^-)(b_{m+1}^-a_m^-b_{m+2}^-a_{m-1}^- \dots b_{2m}^-a_1^-)$$

と定められる。そして、 $2n - 1 = 4m + 1$  ( $m = 1, 2, \dots$ ) の場合には  $2n - 1$  個の頂点  $a_j, b_j, c$  ( $j = 1, 2, \dots, 2m$ ) に対して code  $\phi_n$  と arrangement  $\mathcal{A}_n$  が

$$\phi_n(a_j) = \phi_n(c) = r, \quad \phi_n(b_j) = \ell \quad (j = 1, 2, \dots, 2m),$$

$$\mathcal{A}_n = W^+W^-,$$

$$W^+ = (a_1^+b_1^+a_2^+b_2^+ \dots a_m^+b_m^+)c^+(a_{m+1}^+b_{m+1}^+a_{m+2}^+b_{m+2}^+ \dots a_{2m}^+b_{2m}^+),$$

$$W^- = (b_1^-a_{2m}^-b_2^-a_{2m-1}^- \dots b_m^-a_{m+1}^-)c^-(b_{m+1}^-a_m^-b_{m+2}^-a_{m-1}^- \dots b_{2m}^-a_1^-)$$

DS-diagram  $\Delta(\mathcal{E}_2(1,1))$  は 図 2.2 に示したもので、この 1 辺形が表す DS-knot は 2-halftwists knot ( $4_1$ -knot) で、他の面は trivial knot を表す。

図 2.3 に示したものが DS-diagram  $\Delta(\mathcal{E}_3(1,1))$  である。この 1 辺形は 3-halftwists knot ( $5_2$ -knot) を表し、3 辺形は 1-halftwist knot ( $3_1$ -knot) を表す。他の面はすべて trivial knot である。

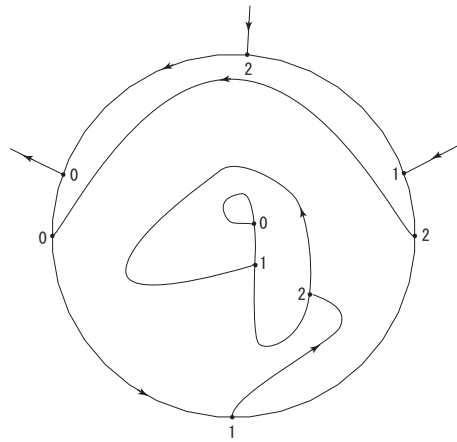


図 2.2:  $\Delta(\mathcal{E}_2(1,1))$  (E-cycle の片側)

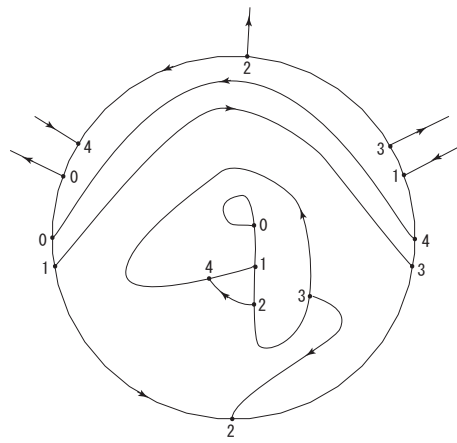


図 2.3:  $\Delta(\mathcal{E}_3(1,1))$  (E-cycle の片側)

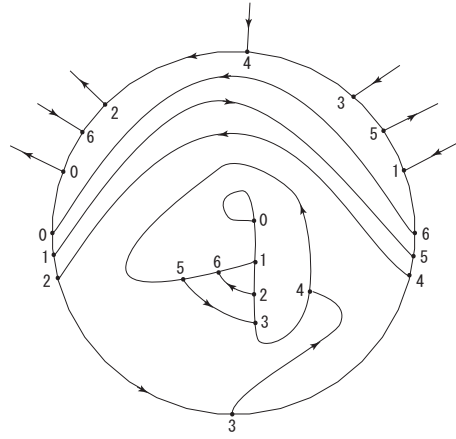


図 2.4:  $\Delta(\mathcal{E}_4(1,1))$  (E-cycle の片側)

さらに、図 2.4 に示したものが DS-diagram  $\Delta(\mathcal{E}_4(1,1))$  である。この 1 辺形は 4-half-twists knot ( $6_1$ -knot) を表し、3 辺形は 2-half-twists knot ( $4_1$ -knot) を表す。他の面は trivial knot である。

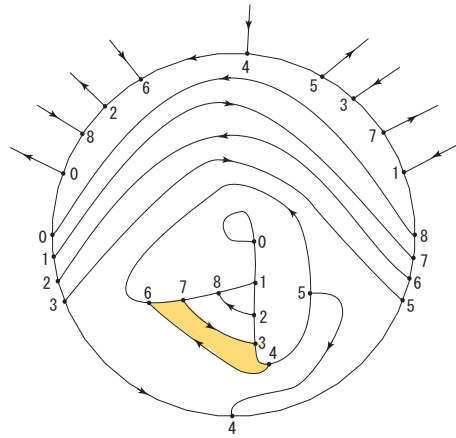


図 2.5:  $\Delta(\mathcal{E}_5(1,1))$  (E-cycle の片側)

図 2.5 が DS-diagram  $\Delta(\mathcal{E}_5(1,1))$  であるが、この DS-diagram (の E-cycle の片側) には E-cycle に接しない 4 辺形が 2 個あり、そのうち色付けられた 4 辺形と同一視される E-cycle の反対側の面も E-cycle とは接しない。このような 4 辺形を I-型 という

ことにする。一方、色付けられていない4辺形は同一視される面が E-cycle と接する。これを II-型 と呼ぶ。4辺形のうち E-cycle の同一視される双方の面がともに E-cycle に接するもの (III-型) もある。DS-knot として non-trivial knot を表すのは1辺形、3辺形と I-型4辺形であり、1辺形は 5-halftwists knot ( $7_2$ -knot)、3辺形は 3-halftwists knot ( $5_2$ -knot)、そして I-型4辺形は 1-halftwist knot ( $3_1$ -knot) である。

以下同様に、DS-diagram  $\Delta(\mathcal{E}_n(1,1))$  に含まれる non-trivial DS-knots はすべて twist knot であることが示される。それらの twist knots は、 $n = 2r$  のときは  $2k$ -halftwists knots ( $k = 1, 2, \dots, r$ ) であり、 $n = 2r - 1$  のときは  $(2k - 1)$ -halftwists knot ( $k = 1, 2, \dots, r + 1$ ) である。

## 2.2 アワビから1回の $R_{*2}^{-1}$ で得られる (b)-type の $(1,1)$ -結び目

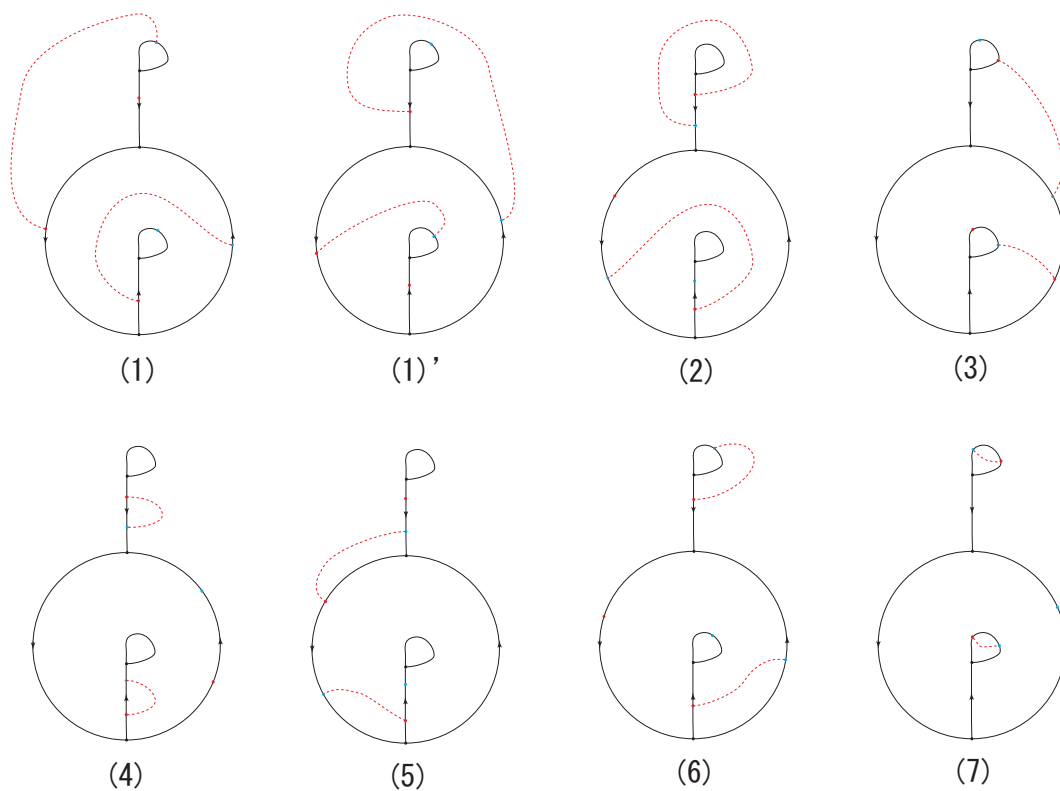


図 2.6: piping lines for the abalone

アワビと名付けられた DS-diagram  $\Delta(\mathcal{E}_1(1,1))$  に対し、move  $R_{*2}^{-1}$  を与える piping line は 図 2.6 に示した (1)~(7) の 7 種類ある。(1) と (1)' は一見異なるようだが、E-cycle の内外を入れ替えれば同じものなので、これらは同一のものとする。(2) と (6) に対しても E-cycle の内外を入れ替えたものがある。

7 種類の piping のいずれも 2 辺形を生じるが、その 2 辺形が non-trivial knot を表すのは (1) と (3) のみである。

(1) の line に沿って piping を行った結果が 図 2.7 であり、調べてみれば 2 辺形が表す DS-knot は torus knot  $T(5,2)$  ( $5_1$ -knot) であることがわかる。

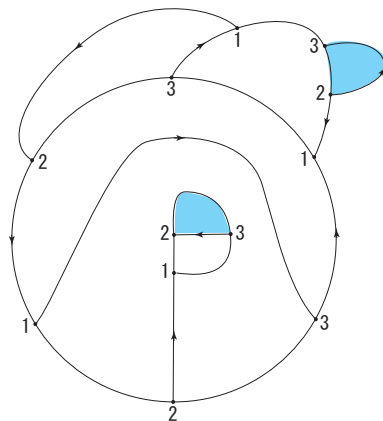
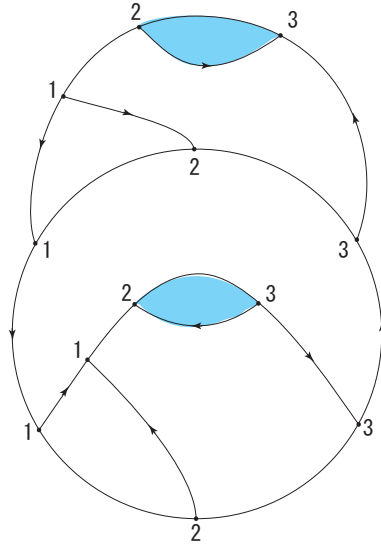


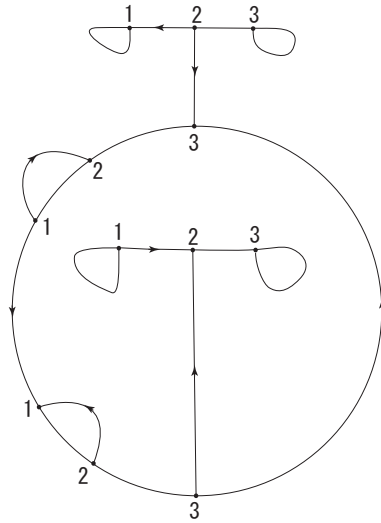
図 2.7: piping along the line (1) which yields the torus knot  $T(5,2)$

line (3) に沿って piping を行った結果は 図 2.8 であり、この 2 辺形が表す DS-knot が torus knot  $T(4,3)$  ( $8_{19}$ -knot) であることを示すことができる。。

他の line (2) および (4), (6), (7) に沿った piping で生じる 2 辺形はの表す DS-knot はいずれも trivial knot であるが、これらにさらに  $R_{*2}^{-1}$  を施すことによって様々な non-trivial  $(1,1)$ -knot を得ることが出来る。ここでは、後の議論に登場する line (4) に沿った piping を 図 2.9 に紹介しておく。



☒ 2.8: piping along the line (3) which yields the torus knot  $T(4, 3)$



☒ 2.9: piping along the line (4) which gives no non-trivial knots



### 2.3 torus knot $T(2n + 3, 2)$ を与える系列

図 2.7 で得られる  $T(5, 2)$  を与える DS-diagram に図 2.10 左図に示した line に沿って piping すると右図の DS-diagram となる。

さらに右図の piping line で piping と次々と  $n$  回の同様の piping を施すことによって E-data  $\mathcal{E}_{T(2n+3,2)} = (\mathcal{A}, \phi)$

$$\begin{aligned} \text{vertices} &: x_0, x_1, \dots, x_n, y_1, y_2, \dots, y_n \\ \phi(x_i) &= \ell \ (i = 0, 1, \dots, n), \ \phi(y_j) = r \ (j = 1, 2, \dots, n), \\ \mathcal{A} &= W^+W^-, \\ W^+ &= (x_0^+x_1^+ \dots x_n^+)(y_1^+y_2^+ \dots y_n^+), \\ W^- &= x_0^-(y_n^-x_1^-) \dots (y_{n-i}^-x_i^-) \dots (y_1^-x_n^-) \end{aligned}$$

を持つ DS-diagram  $\Delta(\mathcal{E}_{T(2n+3,2)})$  (図 2.11) が得られ、この DS-diagram の 2 辺形が表す DS-knot は torus knot  $T(2n + 3, 2)$  である。

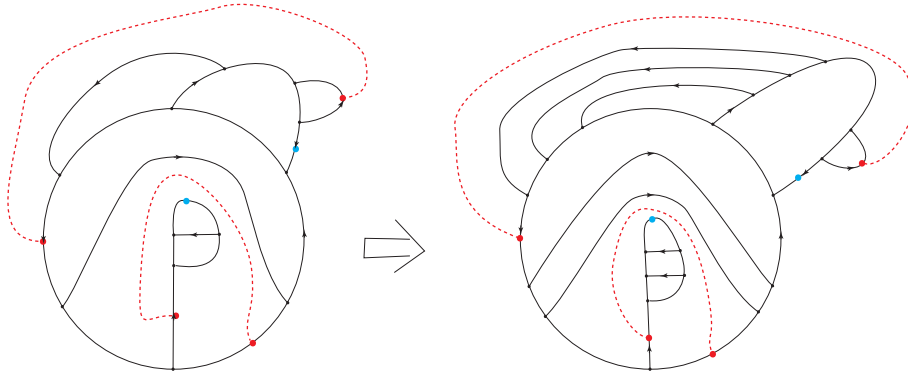


図 2.10: 図 2.7 からの更なる piping

### 2.4 torus knot $T(n + 3, n + 2)$ を与える系列, I

図 2.8 で得られる  $T(4, 3)$  を与える DS-diagram に図 2.12 左図に示した line に沿って piping すると右図の DS-diagram となる。

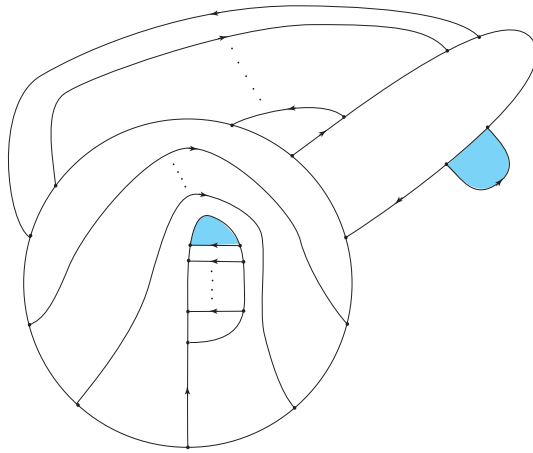


図 2.11:  $\Delta(\mathcal{E}_{T(2n+3,2)})$

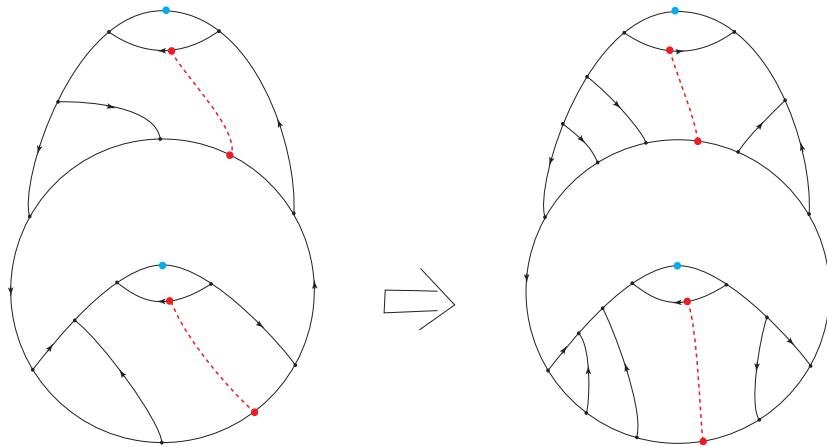


図 2.12: 図 2.8 からの更なる piping

さらに右図の piping line で piping と次々と  $n$  回の同様の piping を施すことによつて E-data  $\mathcal{E}_{T(n+3,n+2)}^{(1)} = (\mathcal{A}, \phi)$

$$\begin{aligned} \text{vertices} &: x_0, x_1, \dots, x_n, y_1, y_2, \dots, y_n \\ \phi(x_i) &= \ell \ (i = 0, 1, \dots, n), \ \phi(y_j) = r \ (j = 1, 2, \dots, n), \\ \mathcal{A} &= W^+W^-, \\ W^+ &= (x_0^+x_1^+ \dots x_n^+)(y_1^+y_2^+ \dots y_n^+), \\ W^- &= (y_n^-y_{n-1}^- \dots y_2^-y_1^-)(x_n^-x_{n-1}^- \dots x_1^-x_0^-) \end{aligned}$$

を持つ DS-diagram  $\Delta(\mathcal{E}_{T(n+3,n+2)}^{(1)})$  (図 2.13) が得られ、この DS-diagram の 2 辺形が表す DS-knot は torus knot  $T(n+3, n+2)$  である。

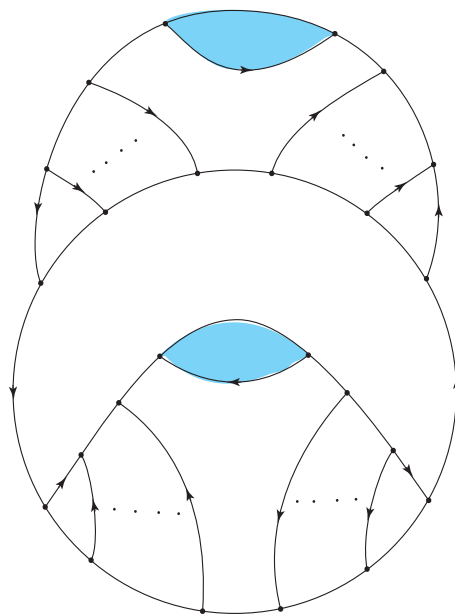


図 2.13:  $\Delta(\mathcal{E}_{T(n+3,n+2)}^{(1)})$

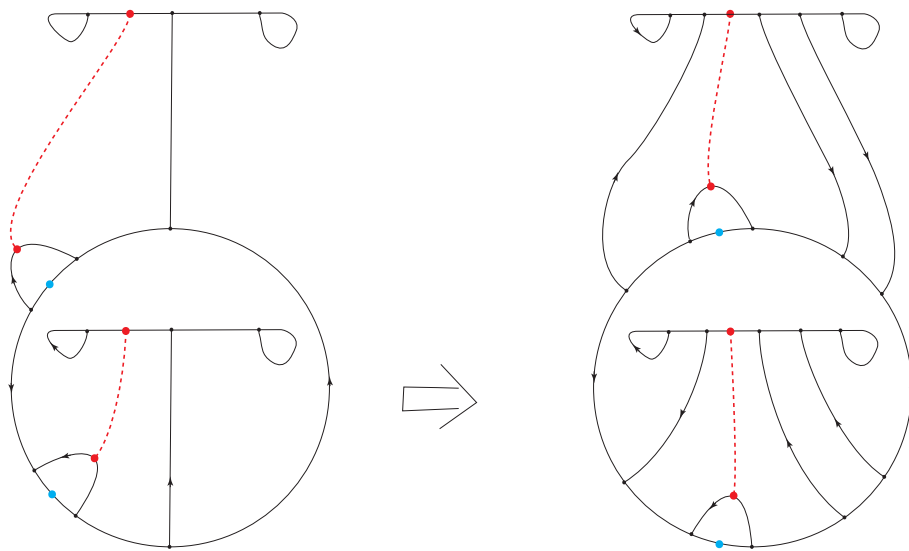


図 2.14: 図 2.9 からの更なる piping

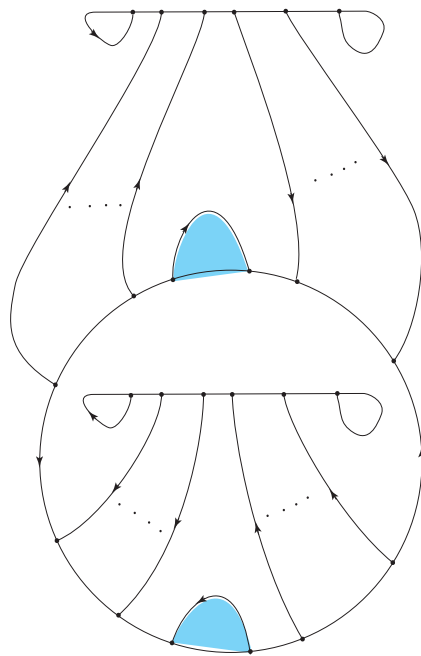


図 2.15:  $\Delta(\mathcal{E}_{T(m+1,m)}^{(2)})$

## 2.5 torus knot $T(m+1, m)$ を与える系列, II

図 2.9 の piping では non-trivial knot は得られないが、図 2.14 のようにこの piping と同様の piping を  $m$  回続けることによって E-data  $\mathcal{E}_{T(m+1, m)}^{(2)} = (\mathcal{A}, \phi)$

$$\begin{aligned} \text{vertices} &: u_1, u_2, \dots, u_m, v_0, v_1, \dots, v_m \\ \phi(u_i) &= r \quad (i = 1, 2, \dots, m), \quad \phi(v_j) = r \quad (j = 0, 1, \dots, m), \\ \mathcal{A} &= W^+W^-, \\ W^+ &= (u_1^+u_2^+ \dots u_m^+)(v_0^+v_1^+ \dots v_m^+), \\ W^- &= (v_m^-v_{m-1}^- \dots v_1^-v_0^-)(u_m^-u_{m-1}^- \dots u_1^-) \end{aligned}$$

を持つ DS-diagram  $\Delta(\mathcal{E}_{T(m+1, m)}^{(2)})$  (図 2.15) が得られ、この DS-diagram の 2 辺形が表す DS-knot は torus knot  $T(m+1, m)$  である ( $m = 1$  のときは trivial knot  $(T(2, 1))$ 、 $m = 2$  のときは  $3_1$ -knot  $(T(3, 2))$ )。

注意 1.  $m = n + 2$  として、 $\Delta(\mathcal{E}_{T(n+3, n+2)}^{(1)})$  および  $\Delta(\mathcal{E}_{T(m+1, m)}^{(2)})$  それぞれから  $T(m+1, m)$  の 2 重分岐被覆を [8] の方法で作ることによって、[9] において山下氏によって示された定理 (の一部) の別証明が得られる。

## 2.6 pretzel knot $p(-2, 3, 2n+3)$ を与える系列

[7] に示したように 図 2.16 に示した DS-diagram は pretzel knot  $p(-2, 3, 7)$  を表す。この diagram は  $T(7, 2)$  を表す  $\Delta(\mathcal{E}_{T(7, 2)})$  (§ 2.3 参照) から 図 2.17 に示した piping line に沿って piping して得られる。

そこで、一般の  $\Delta(\mathcal{E}_{T(2n+3, 2)})$  に対して同様の piping line (図 2.18) を考えてみよう。その piping の結果は、次の E-data  $\mathcal{E}_{p(2n+3)} = (\mathcal{A}, \phi)$

$$\begin{aligned} \text{vertices} &: s, x_0, x_1, \dots, x_n, t, y_1, y_2, \dots, y_n \\ \phi(s) = \phi(x_i) &= \ell \quad (i = 0, 1, \dots, n), \quad \phi(t) = \phi(y_j) = r \quad (j = 1, 2, \dots, n), \\ \mathcal{A} &= W^+W^-, \\ W^+ &= (x_0^+x_1^+ \dots x_n^+)(s^+t^+)(y_1^+y_2^+ \dots y_n^+), \\ W^- &= (t^-s^-x_0^-)(y_n^-x_1^-) \dots (y_{n-i}^-x_i^-) \dots (y_1^-x_n^-) \end{aligned}$$

を持つ DS-diagram  $\Delta(\mathcal{E}_{p(2n+3)})$  となる (図 2.19)。

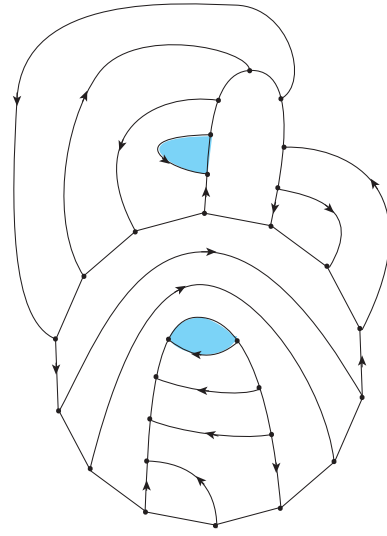


図 2.16: pretzel knot  $p(-2, 3, 7)$

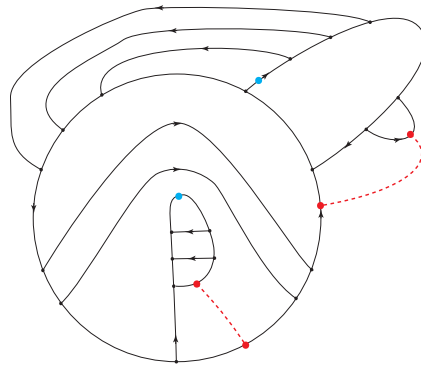


図 2.17:  $\Delta(\mathcal{E}_{T(7,2)})$  から 図 2.16 を生成する piping line

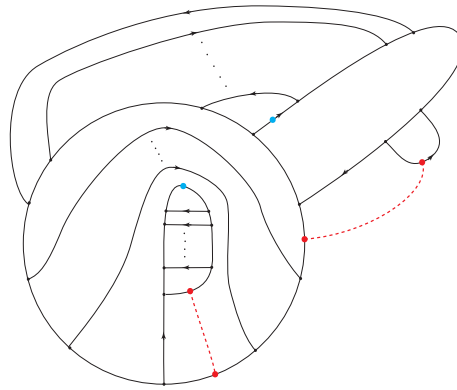


図 2.18:  $\Delta(\mathcal{E}_{T(2n+3,2)})$  に対する piping line

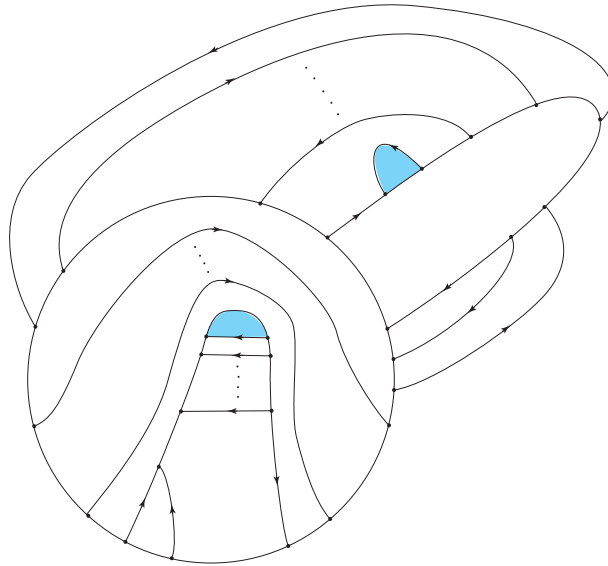


図 2.19:  $\Delta(\mathcal{E}_{p(2n+3)})$

一般の  $n$  に対してこの DS-diagram  $\Delta(\mathcal{E}_{p(2n+3)})$  の 2 辺形が表す結び目を  $K_{p(2n+3)}$  とすると、 $K_{p(2n+3)}$  は如何なるものであろうか？ 小さい  $n$  では次のことが確かめられる。

- (0)  $n = 0$  のときは  $\Delta(\mathcal{E}_{T(3,2)})$  はアワビと解釈され、 $\Delta(\mathcal{E}_{p(3)}) = \Delta(\mathcal{E}_{T(4,3)}^{(1)})$ 、すなわち  $K_{p(0)} = T(4, 3)$  となる。 $T(4, 3)$  は  $8_{19}$ -knot であり、pretzel knot  $p(-2, 3, 3)$  でもあることが知られている。
- (1)  $n = 1$  のとき、 $\Delta(\mathcal{E}_{p(5)})$  を [7] に紹介した方法で実際に調べてみると、 $K_{p(5)}$  は torus knot  $T(5, 3)$  であることが確かめられる。 $T(5, 3)$  は  $10_{124}$ -knot であり、pretzel knot  $p(-2, 3, 5)$  でもあることが知られている。
- (2)  $n = 2$  のときは、上に述べたように  $K_{p(7)} = p(-2, 3, 7)$  である。

以上をまとめて

命題 2.1.  $n = 0, 1, 2$  のとき  $K_{p(2n+3)} = p(-2, 3, 2n + 3)$  である。

このことから次が予想される。

予想 1.  $K_{p(2n+3)} = p(-2, 3, 2n + 3)$  であろう。

この予想の傍証として、次のことを示すことはできる。

命題 2.2.  $K_{p(2n+3)}$  は fibered knot で genus は  $n + 3$  である。

図 2.20 に  $K_{p(9)}$  の補空間の T-DS-diagram を示しておく。この diagram から  $K_{p(9)}$  の補空間は 5 個の理想四面体を等長的に貼り合わせて構成される hyperbolic cusped manifold であることが示される。SnapPea さんに頼めば（私には頼むことはできませんが）これが  $p(-2, 3, 9)$  の補空間に一致するか否かが判定できるのだろう。

注意 2. 中村拓司氏（大阪電通大）によると、[11] の  $k5_{11}$  が  $p(-2, 3, 9)$  とのことです。 $K_{p(9)}$  の複雑度が  $p(-2, 3, 9)$  の複雑度と一致するので、これも上の予想の傍証の一つと言える。

注意 3. まったくの余談ですが、“SnapPea” の綴りを調べるために検索したところ、最近では Android 携帯用のアプリの名前としての方が流通しているようです。

因みに、snap pea はいわゆる「スナップエンドウ」のことらしいです。





### 3 $p(-2, 3, 7)$ 周辺の hyperbolic knots

#### 3.1 hyperbolic knot の複雑度

その補空間を構成するのに必要な理想四面体の最小個数を hyperbolic knot の複雑度という。 $S^3$  内の hyperbolic knot で複雑度最小であるのは  $4_1$ -knot で、その複雑度は 2 ある。[11] には、 $S^3$  内の複雑度  $n$  ( $n = 2, 3, 4, 5, 6$ ) の hyperbolic knots が  $kn_i$  として示されている。 $k_{2_1}$  が  $4_1$ -knot で複雑度 2 のものはこれ 1 つである。複雑度 3 の knot は 2 つあり、 $k_{3_1}$  が  $p(-2, 3, 7)$ 、 $k_{3_2}$  が  $5_2$ -knot である。

[11] によると、複雑度 4 の knot は 4 個存在し、 $k_{4_1}$  と  $k_{4_2}$  は twist knot ( $k_{4_1}$  は  $6_1$ -knot、 $k_{4_2}$  は  $7_2$ -knot) である。そこで、 $k_{4_3}$  と  $k_{4_4}$  を DS-knot として確定してみようというのがこの節の第一の目標である。 $k_{4_3}$  については [3] でかなり研究されているようである (私自身はあまり理解出来ていないが)。

#### 3.2 $p(-2, 3, 7)$ の 2 つの $(1, 1)$ -表示

[7] に示したように、 $p(-2, 3, 7)$  は 2 つの異なる  $(1, 1)$ -表示を持つ。一つは § 2.6 の図 2.16 であり、もう一つは図 3.1 である。

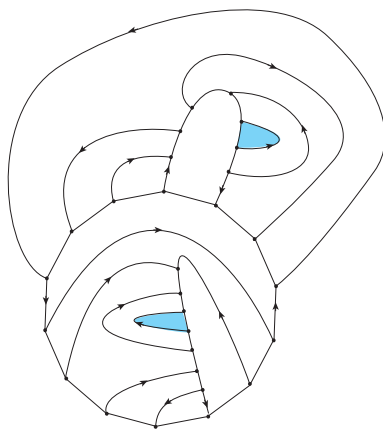


図 3.1: another  $(1, 1)$ -representation for the pretzel knot  $p(-2, 3, 7)$

注意 4. 図 3.1 は [7] のものの鏡像になっている。これは、アワビ(図 2.1)からの piping

で得られるようにするためである。[7] のものは、アワビの鏡像からの piping で得られる。

図 2.16 で表される DS-knot を  $K_{p(7)}$  と表示したので、図 3.1 で表される DS-knot を  $K_{p(7)}^*$  と表示することにする。もちろん、 $K_{p(7)}$  も  $K_{p(7)}^*$  も共に  $p(-2, 3, 7)$  である。

複雑度を議論するためには、(1, 1)-表示よりもむしろ簡約化された DS-diagram を用いる方が都合がよいので、図 3.2 に簡約化された diagram を用意しておく。簡約化された diagram とは、knot を保持しつつ頂点数を減らした diagram のことである。簡約化によって block number は増加するので、(1, 1)-表示と直接には結びつかなくなる。

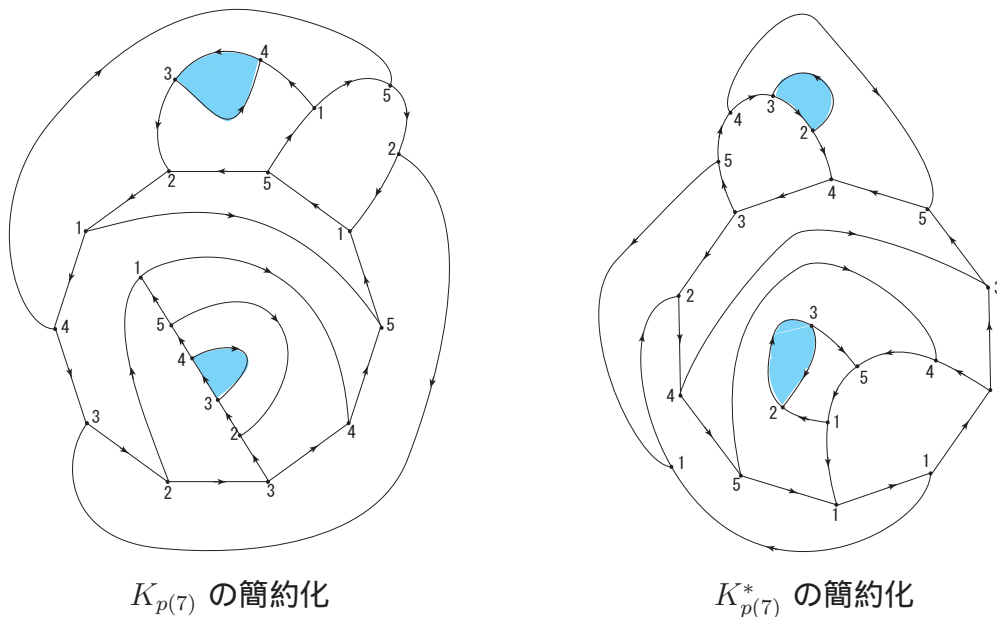


図 3.2: reduced DS-diagrams for  $K_{p(7)}$  and  $K_{p(7)}^*$

### 3.3 coil による Dehn surgery

山下氏によって、”coil に沿う Dehn surgery” なるものが研究されている ([10])。一般に、DS-diagram が表す spine のある面の閉包が Möbius band であるとき、その Möbius band の中心線が表す knot を coil という。DS-diagram  $\Delta = (S^2, f, G)$  上では、coil は

対隣接面  $(X^+, X^-)$  内の互いに同一視される arc の対  $(c^+, c^-)$  の像  $c = f(c^+) = f(c^-)$  として定められる (詳しくは [10] 参照)。

DS-diagram  $\Delta$  とその一つの DS-knot  $k(Y)$  が与えられ ( $Y$  は  $\Delta$  の一つの面)、 $\Delta$  が coil  $c(X)$  ( $X$  は  $c \subset X$  となる  $\Delta$  の面) を持つとする。このとき、 $Y \neq X$  ならば  $\ell = k(Y) \cup c(X)$  は  $\Delta$  が表す多様体  $M(\Delta)$  内の link として確定している。特に  $M(\Delta) = S^3$  で  $c(X)$  が trivial knot のときは、 $c(X)$  での  $(1/n)$ -surgery によって  $k(Y)$  に  $c(X)$  のまわりでの  $n$ -fulltwists を加えた knot の DS 表示を得ることができる。

block number 1 の DS-diagram  $\Delta$  は常に 2 個の coil を持つ。この coil は  $\Delta$  が定める genus 1 H-分解  $(V_1, V_2)$  のそれぞれの solid torus  $V_1, V_2$  の core として現れる。したがって、 $M(\Delta) = S^3$  のときは  $\Delta$  の coil は trivial knot である。図 3.2 の  $K_{p(7)}, K_{p(7)}^*$  の簡約化においても、元の block number 1 のときの coil が残っている。その coil 達を 図 3.3 に示す。次分節において、これらの coil での Dehn surgery を調べることによって、複雑度 4 の hyperbolic knot を探す。

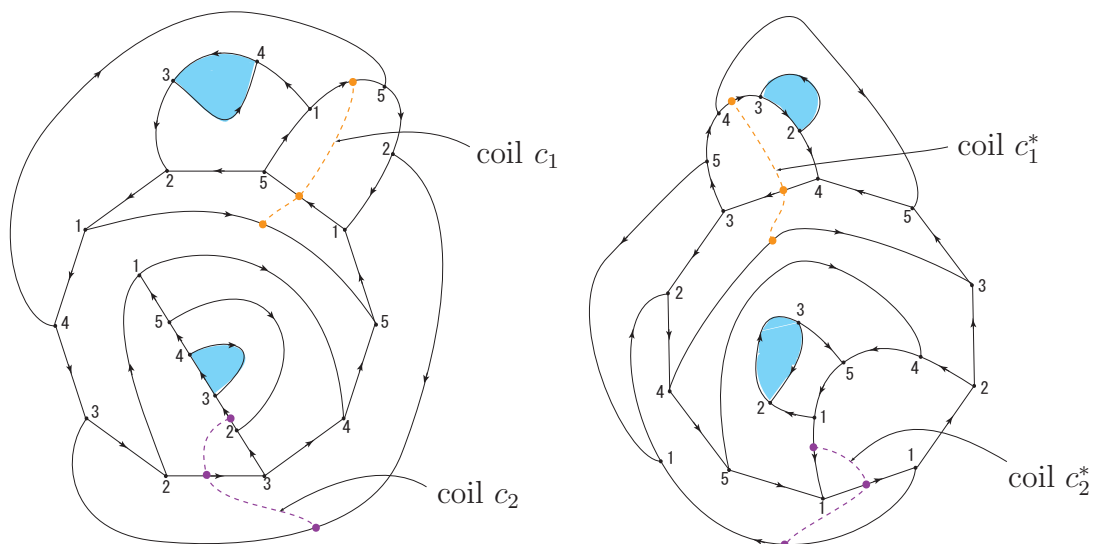


図 3.3: coils for  $K_{p(7)}$  and  $K_{p(7)}^*$

$K_{p(7)} \cup c_j$  あるいは  $K_{p(7)}^* \cup c_j^*$  の link diagram を得るためには、block number 1 の表示に戻って [7] に示した方法で knot diagram を求め、これに solid torus の core を付け加えればよい。

### 3.4 $K_{p(7)}, K_{p(7)}^*$ からの coil surgery

山下氏 [10] に従えば、surgery 係数によって指定されたカセットを選びそのカセットを coil 部分にはめ込めば、coil に沿って Dehn surgery した多様体の DS-diagram が得られる。ここでは  $p(-2, 3, 7)$  よりも複雑度が 1 だけ大きい  $S^3$  内の hyperbolic knot を構成することが目標であるので、山下氏の結果を次のような手順 (1),(2) で少し安直に利用させていただいた。

- (1) 山下氏 ([10]) によって用意されたカセットのうち、DS-diagram の頂点数を 1 だけ上げるものを選ぶ。
- (2) 選んだカセットを挿入して得られる多様体が  $S^3$  であれば採用、そうでなければ不採用。

このような方法で 3 個の複雑度 4 の  $S^3$  内の hyperbolic knot が見つかった。まず、図 3.4 が  $K_{p(7)}^*$  を coil  $c_1^*$  で Dehn surgery して得られるものである。この knot を仮に  $k4_a$  と名付ける。 $K_{p(7)}^*$  に対する coil  $c_2^*$  には、採用されるカセットは存在しない。

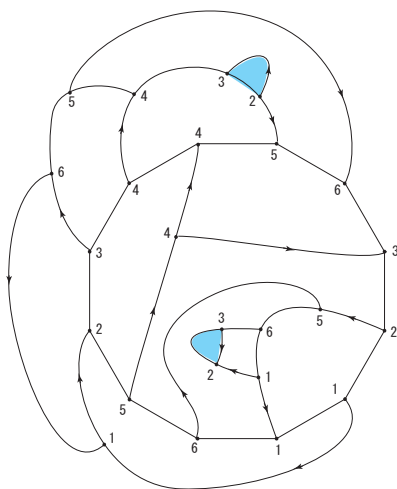
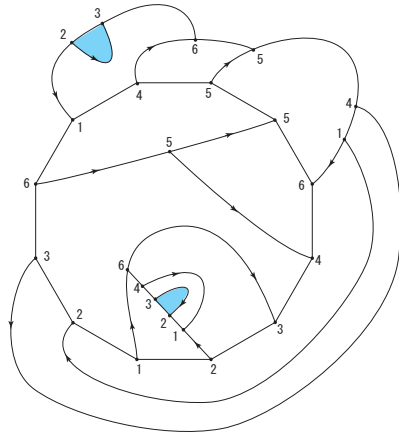
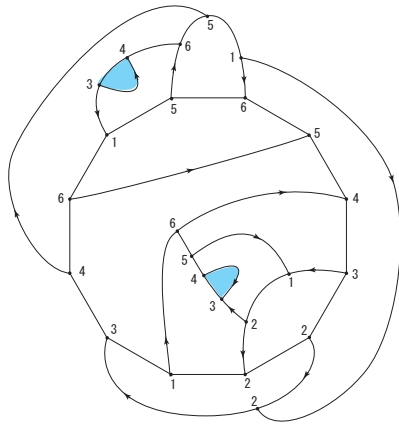


図 3.4: DS-diagram for  $k4_a \subset S^3$

次に、図 3.5 に示すのが  $K_{p(7)}$  を coil  $c_1$  に沿って Dehn surgery したものであり、図 3.6 が  $K_{p(7)}$  を coil  $c_2$  に沿って Dehn surgery したものである。これらそれぞれに仮の名  $k4_b$  および  $k4_c$  を与える。



☒ 3.5: DS-diagram for  $k4_b \subset S^3$



☒ 3.6: DS-diagram for  $k4_c \subset S^3$

上の3個の knot  $k_{4_a}, k_{4_b}, k_{4_c}$  の diagram はいづれも”block change moves” ([2] 参照) によって block number 1 の diagram に変形することができる。したがって、これらの knot はすべて  $(1, 1)$ -knot である。また、 $k_{4_a}, k_{4_b}$  の  $(1, 1)$ -表示はアワビから5回の  $R_{*2}^{-1}$  適用で得られ、 $k_{4_c}$  の  $(1, 1)$ -表示はアワビから6回の  $R_{*2}^{-1}$  適用で得られることを示すことができる。

3個の knot  $k_{4_a}, k_{4_b}, k_{4_c}$  はいづれも fibered knot であり、かつ hyperbolic knot であることを確かめることができる。したがって、([11] を信じれば) これらは  $k_{4_3}$  または  $k_{4_4}$  のどちらかであり、3個のうち少なくとも2個は同じ knot である。次分節以降でこの辺りを調べる。

### 3.5 $k_{4_a}, k_{4_b}, k_{4_c}$ の性質

一般に DS-knot が与えられると、その knot の補空間の T-DS-diagram が構成される。そして、そこから読み取れる”gluing equations” と”holonomy conditions” によって導かれる代数方程式が上半平面に解を持つことが、その補空間が hyperbolic cusped manifold であることとなる ([6], [7] 参照)。このような方法で  $k_{4_a}, k_{4_b}, k_{4_c}$  がすべて複雑度4の hyperbolic knot であることが確認できる。

以下では、 $k_{4_a}, k_{4_b}, k_{4_c}$  それぞれについて DS-diagram, T-DS-diagram を用いて明らかになった性質を述べる。

#### 3.5.1 $k_{4_a}$

$k_{4_a}$  の DS-knot 表示 図 3.4 から構成される  $k_{4_a}$  の補空間の T-DS-diagram  $T\Delta_a$  が 図 3.7 である (T-DS-diagram の構成法については [6] を参照)。

この  $T\Delta_a$  に対して非自明 Dehn filling でレンズ空間を与える slope を探してみよう。”cyclic surgery theorem” によれば、レンズ空間を与える slope が存在するとすれば、それは  $k_{4_a}$  の meridian と1点で交わる。しかも、その slope の双曲的長さはあまり長くはない。このような観点で探してみると、図 3.8 に示した slope  $\nu$  が見つかる。実際、 $\nu$  で Dehn filling した多様体  $M(T\Delta_a, \nu)$  の DS-diagram を作り、多様体を不変にする変形を施すと、 $\Delta(\mathcal{E}_1(27, 10))$  ([8] 参照) まで変形でき、 $M(T\Delta_a, \nu)$  はレンズ空間  $L(27, 10)$  であると分かる。しかも、この変形は knot  $k_{4_a}^\nu$  (Dehn filling に用いる

solid torus の core ) を表す面を保持しながら実行可能で、その knot が  $L(27, 10)$  内の  $(1, 1)$ -knot  $K_1(27, 10; 25)$  ([8] 参照) であることも分かる。

命題 3.1.  $L(27, 10) - K_1(27, 10; 25) \cong S^3 - k4_a$

### 3.5.2 $k4_b$

$k4_a$  の場合と同様の考察を  $k4_b$  に対しても行う。まず、T-DS-diagram  $T\Delta_b$  が 図 3.9 のように得られ、レンズ空間を生成する slope  $\lambda$  が 図 3.10 で与えられることが分かる。また、 $M(T\Delta_b, \lambda) = L(27, 8)$  であることも検証される。ただし、 $k4_a$  の場合と違うのは、 $M(T\Delta_b, \lambda)$  の DS-diagram から  $\Delta(\mathcal{E}_1(27, 8))$  を得る変形の過程で knot を表す面が消滅してしまうことである。この標準形への変形は、次の 3 つのステップで実行される。

- (1) E-cycle を付ける変形 (元の DS-diagram は E-cycle を持つとは限らない)
- (2) block change move によって block number 1 まで変形 (これが不可能なこともあり得る)
- (3) 標準形に変形 (ステップ (2) が可能ならばこの変形は可能)

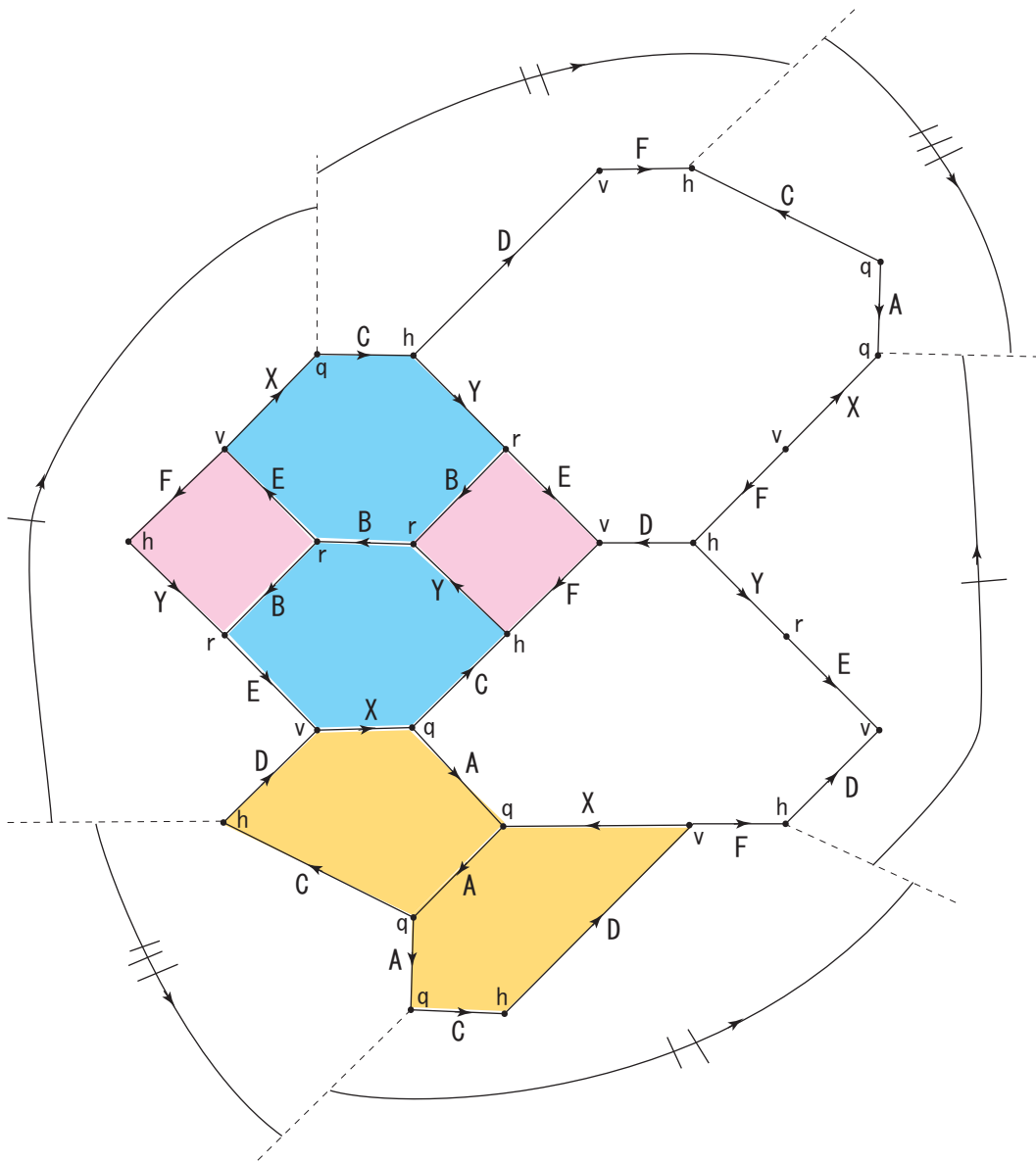
上に述べた「消滅」がステップ (3) で起こるならば、目的の knot が  $(1, 1)$ -knot であることが分かるのだが、この場合の「消滅」はステップ (2) で起こってしまう。したがって、(私の変形方法では)  $M(T\Delta_b, \lambda)$  の中で  $k4_b^\lambda$  が  $(1, 1)$ -knot であるか否かを特定することが出来ていない。また、

$$M(T\Delta_b, \lambda) = L(27, 8) \cong L(27, 10) = M(T\Delta_a, \nu)$$

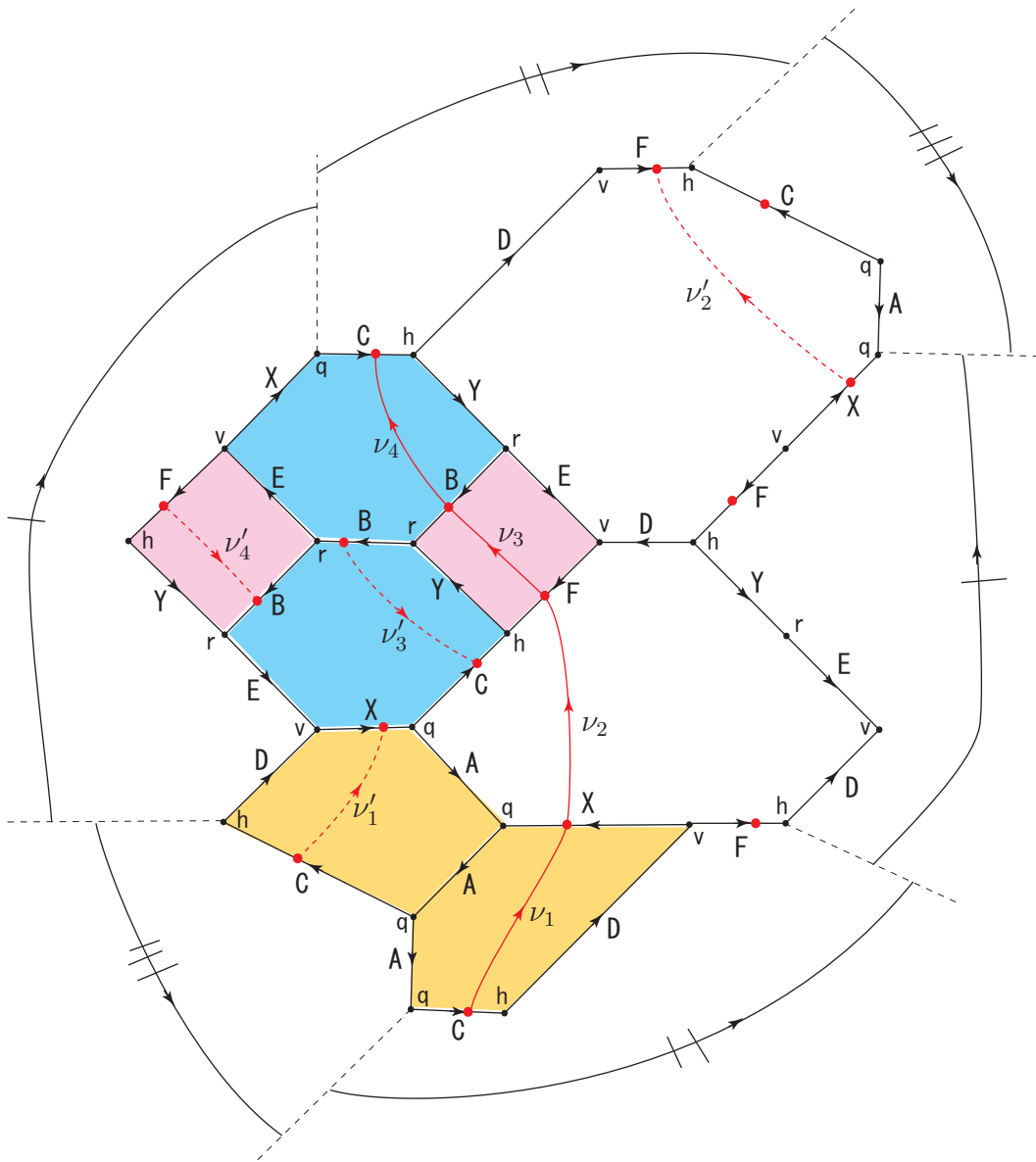
であるから、 $k4_b$  が  $k4_a$  から (knot の同相の意味で) 区別された訳でもない。実際、次節に述べるように [11] の table から  $k4_a$  と  $k4_b$  は互いに同相な knot であることが結論される。

注意 5. 上のステップ (1) の変形は一意的ではないので、このステップでの変形が原因で  $(1, 1)$ -表示に至らない可能性も十分にあると思われる。

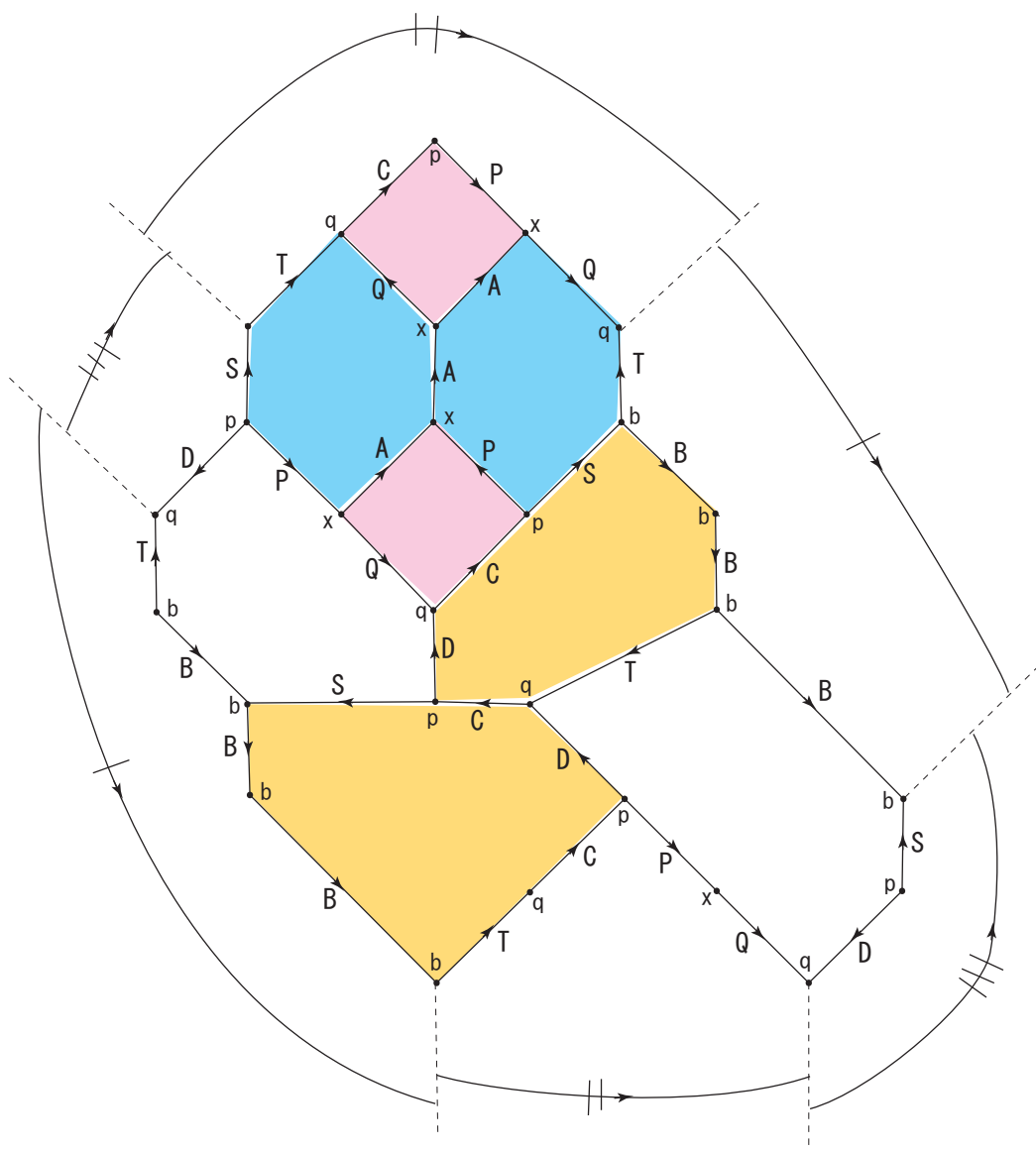




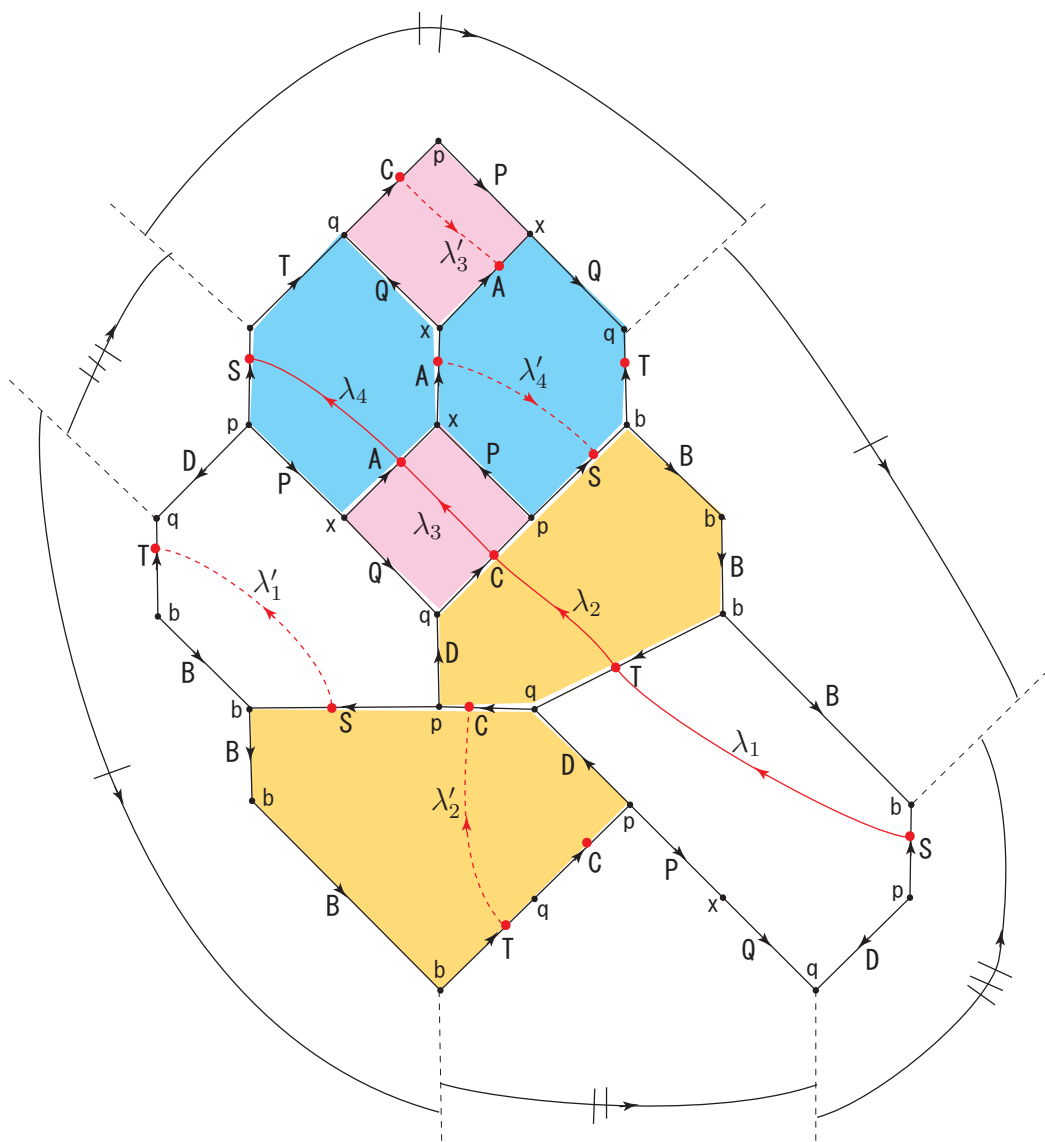
☒ 3.7: T-DS-diagram  $T\Delta_a$  for  $S^3 - kA_a$



⊠ 3.8: slope  $\nu = \nu_1 \cup \nu_2 \cup \nu_3 \cup \nu_4$  for  $T\Delta_a$  which gives  $K_1(27, 10; 25) \subset L(27, 10)$



☒ 3.9: TDS-diagram  $T\Delta_b$  for  $S^3 - k4_b$



☒ 3.10: slope  $\lambda = \lambda_1 \cup \lambda_2 \cup \lambda_3 \cup \lambda_4$  for  $T\Delta_b$  which gives  $L(27, 8)$

### 3.5.3 $k4_c$

$k4_c$  に対しても、 $k4_a, k4_b$  の場合と同様に、 $S^3 - k4_c$  の T-DS-diagram  $T\Delta_c$  が 図 3.11 のように得られる。この  $T\Delta_c$  については、レンズ空間を与える slope が 図 3.12 に示した  $\lambda$  と、 図 3.13 に示した  $\nu$  の 2 つ見つかる。 $M(T\Delta_c, \lambda)$  および  $M(T\Delta_c, \nu)$  については、E-cycle を付ける変形もまだ完了していないが、それらの基本群は  $\pi_1(M(T\Delta_c, \lambda)) \cong \mathbb{Z}_{29}$  および  $\pi_1(M(T\Delta_c, \nu)) \cong \mathbb{Z}_{30}$  と計算され、これらがレンズ空間であることが分かる（基本群の計算方法については [7] を参照）。

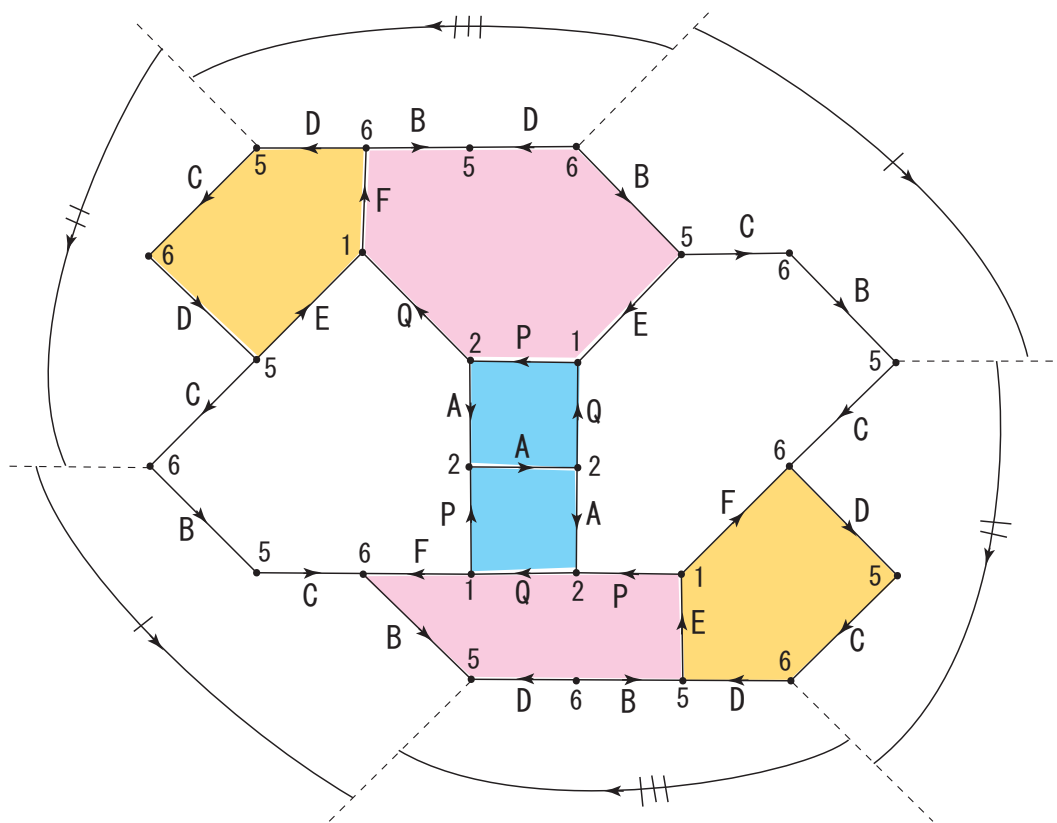


図 3.11: T-DS-diagram  $T\Delta_c$  for  $S^3 - k4_c$

また、 $M(T\Delta_c, \lambda)$  および  $M(T\Delta_c, \nu)$  の spine は、共に頂点数が 5 まで落とせることが分かる。そこで、Matveev ([5]) の助けを借りると

$$M(T\Delta_c, \lambda) \cong L(29, 8) \quad \text{あるいは} \quad L(29, 12)$$

$$M(T\Delta_c, \nu) \cong L(30, 11)$$

であることが分かる。

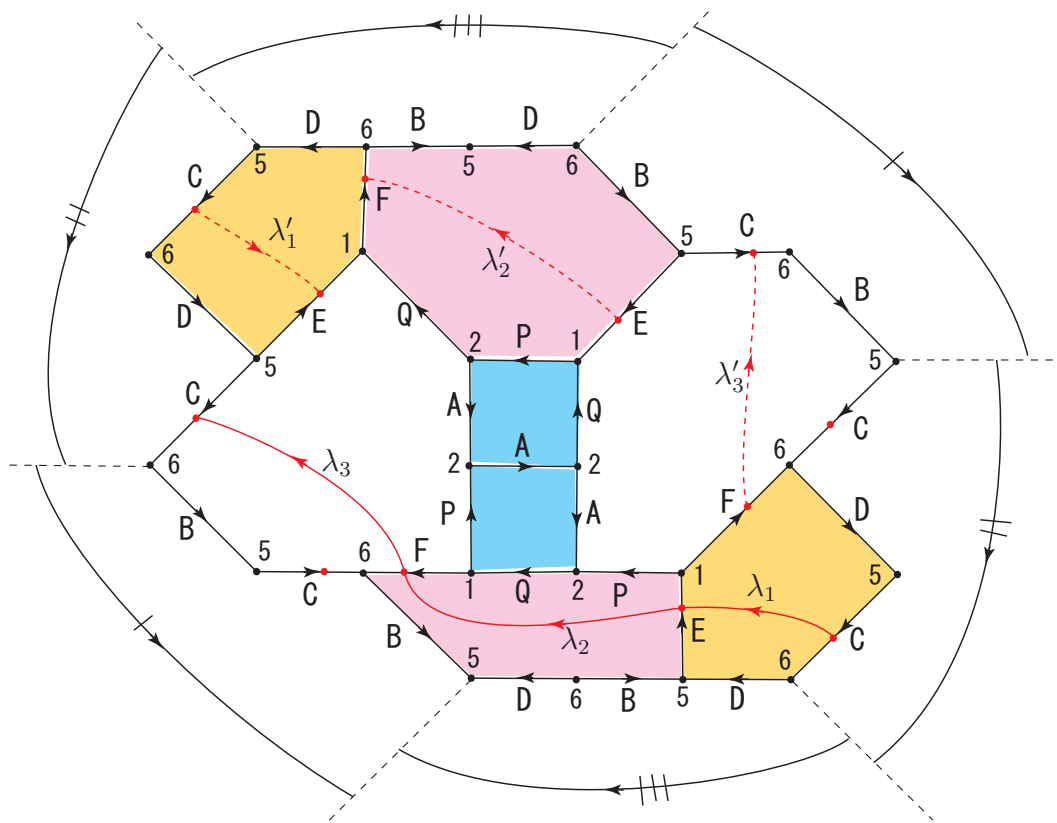


図 3.12: slope  $\lambda = \lambda_1 \cup \lambda_2 \cup \lambda_3$  which yields  $L(29, ?)$  ( $L(29, 8)$  or  $L(29, 12)$ )

### 3.5.4 結論

$k_{4_a}$  の block number 1 DS-diagram から作った knot diagram (最小交点ではない) で交点数を数えると 20 であり、[11] の table にある  $k_{4_3}$  の交点数は 18、 $k_{4_4}$  の交点数は 22 である。したがって、ここまでの話を総合し [11] の table を信頼すると、

$$k_{4_a} = k_{4_b} = k_{4_3}, \quad k_{4_c} = k_{4_4}$$

と結論付けることができる。

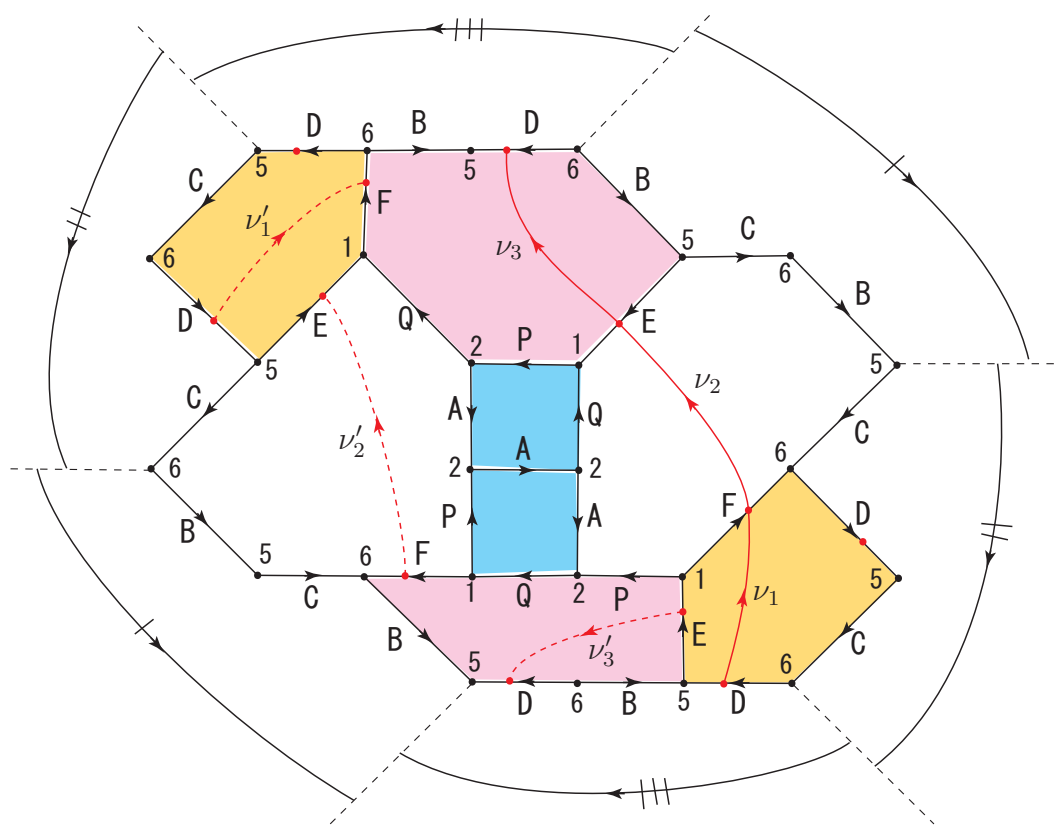


図 3.13: slope  $\nu = \nu_1 \cup \nu_2 \cup \nu_3$  which yields  $L(30, 11)$

## 参考文献

- [1] Callahan P.J., Hildebrand C.M., and Weeks J.R., A census of cusped hyperbolic 3-manifolds, *Math. of Computation*, vol. 68, no. 225 (1999), 321-332.
- [2] Endoh M. and Ishii I., A new complexity for 3-manifolds, *Japanese J. of Math.* 31 (2005), 131-156.
- [3] Garoufalidis S. and Lan Y., Experimental evidence for the volume conjecture for the simplest hyperbolic non-2-bridge knot, *Algebraic & Geometric Topology* 5 (2005), 379-403.
- [4] Koda, Y., A new classification of genus two 3-manifolds –parametrization and Reidemeister torsion–, 2005 年度慶應義塾大学修士論文.
- [5] Matveev S., *Algorithmic topology and classification of 3-manifolds*, A.C.M. vol.9, Springer (2003).
- [6] 石井一平, 結び目補空間の組合せ構造と幾何構造, *HAKONE SEMINAR* 30 (2014), 35-73.
- [7] 石井一平,  $(-2, 3, 7)$  pretzel knot の理想四面体分割について, *HAKONE SEMINAR* 31 (2015), 11-44.
- [8] 石井一平,  $(1, 1)$ -結び目とその二重分岐被覆について, *HAKONE SEMINAR* 32 (2016), 13-36.
- [9] 山下正勝, Block number 2 の 2 種類の DS 図 について, *HAKONE SEMINAR* 29 (2013), 15-32.
- [10] 山下正勝, DS 流 Dehn surgery, *HAKONE SEMINAR* 29 (2013), 33-55.
- [11] Callahan P.J., Hildebrand C.M., and Weeks J.R., *Hyperbolic knot census*, <http://www.knotplot.com/hyper/>